

# 2D-Gas Modell

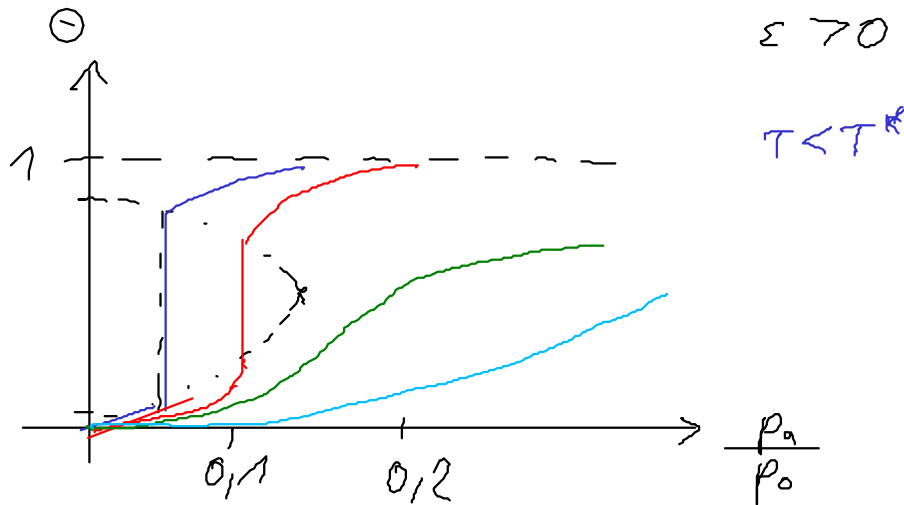


$$Z[\varepsilon_a, \varepsilon, Z] \Rightarrow p_a = \frac{\theta}{1-\theta} \exp\left[-\frac{eZ\theta\varepsilon}{kT}\right]$$

2 dimensional

$$\Theta_{\max} = 1$$

$$T^q = \frac{Z\varepsilon}{2k}$$



$$S_S dT + \sum_i N_{is} d\mu_i + A d\varepsilon = 0$$

$$d\varepsilon = -S_S dT - \sum_i n_{is} d\mu_i = -\sum_i n_{is} d\mu_i$$

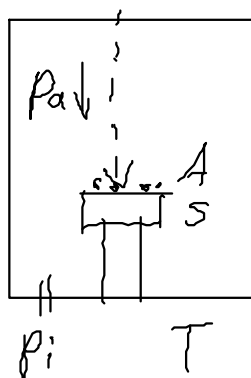
$$n_{is} = -\frac{\partial \varepsilon}{\partial \mu_i} \Big|_{T, \mu_i = \text{const}}$$

- Chemisches Potential  $\mu_i = \mu_0 - kT \ln p_i$
- $\mu_0$  chemisches Potential bei einer Atmosphäre

$$d\mu_i = kT d\ln p_i$$

$$\Rightarrow n_{is} = -\frac{1}{kT} \left( \frac{\partial \varepsilon}{\partial \ln p_i} \right)_{T, p_j \neq i}$$

## Isotache



$\Theta(f)$  konstant halten

$$\Rightarrow \Theta_{\text{const}}(p, T) \rightarrow n_{as}$$

Adsorptionswärme  $\bar{q}_{ads}$  kann bestimmt werden

$$\partial \mu_a = \left( \frac{\partial \mu_a}{\partial T} \right)_{N_{as}, A} dT$$

$$d\bar{F}_s = -S_s dT + Z \mu_i dN_{is} + \delta A$$

$$\mu_a = \left( \frac{\partial \bar{F}_s}{\partial N_{as}} \right)_{T, A}$$

$$\partial \mu_a = \frac{\partial}{\partial T} \left( \left( \frac{\partial \bar{F}_s}{\partial N_{as}} \right)_{T, A} \right) dT = \frac{\partial}{\partial N_{as}} \left( \left( \frac{\partial \bar{F}_s}{\partial T} \right)_{N_{as}, T} \right) dT = -\bar{S}_{as} dT$$

$$\partial \mu_a = -\bar{S}_{as} dT$$

→ auf der Oberfläche

## 1. Hauptatz Thermodynamik

$$dE = dW + dQ = -pdV + \sum_i \mu_i dN_{is} + \delta dA + TdS$$

$$E_{av} = -p_a V_a + \mu_a N_{av} + T S_{av}$$

Zone vor der Oberfläche

$$N_{av} d\mu_a = dE_{av} + p_a dV_{av} + V_{av} dp_a - T dS_{av} - S_{av} dT$$

$$dE_{av} = T dS_{av} - p_a dV_a \quad \text{pro 1 Teilchen}$$

$$\Rightarrow \partial \mu_a = \frac{1}{N_{av}} (V_a dp_a - S_{av} dT) = \frac{V_a}{N_{av}} dp_a - \frac{S_{av}}{N_{av}} dT$$

$$-\bar{S}_{as} dT = -\bar{S}_{av} dT + \bar{V}_a dp_a$$

$$\left( \frac{\partial p_a}{\partial T} \right)_{N_{av}} = - \frac{\bar{S}_{as} - \bar{S}_{av}}{\bar{V}_a} = - \frac{\bar{q}_{ads}}{T \bar{V}_a}$$

*Gibbs*

$$\left( \frac{\partial \ln p_a}{\partial T} \right)_{N_{av}} = \frac{1}{p_a} \left( \frac{\partial p_a}{\partial T} \right)_{N_{av}} = - \frac{\bar{q}_{ads}}{T \bar{V}_a} = - \frac{\bar{q}_{ads}}{kT^2} = - \frac{Q_{ads}}{N_{av} k T^2}$$

• Molar Adsorptionswärme  $\bar{q}_{ads}$

• Avogadro Zahl  $N_A$

## Beispiel

$$\text{Gesuchte: } p_o(T) = \left( \frac{2\pi m k T}{h^2} \right)^{\frac{3}{2}} k T \exp \left[ -\frac{\xi_a}{k T} \right]$$

$$p = \frac{\Theta}{1-\Theta} p_o \exp \left[ -\frac{27 \varepsilon \Theta}{k T} \right]$$

$$\ln p = \ln \frac{\theta}{1-\theta} + \ln p_0(T) - \frac{2Z\varepsilon\theta}{kT}$$

$$\frac{\partial \ln p}{\partial T} = 0 + \frac{\partial \ln p_0}{\partial T} + \frac{2Z\varepsilon\theta}{kT^2}$$

$$\ln p_0 = \dots$$

$$\frac{\partial \ln p_0}{\partial T} = \frac{3}{2} \frac{1}{T} + \frac{1}{T} + \frac{\varepsilon_a}{kT^2} = \frac{5}{2} \frac{1}{T} + \frac{\varepsilon_a}{kT^2}$$

$$\frac{\partial \ln p}{\partial T} = \frac{5}{2} \frac{1}{T} + \frac{\varepsilon_a}{kT^2} + \frac{2Z\varepsilon\theta}{kT^2}$$

$$\bar{Q}_{\text{ads}} = -N_a kT^2 \left( \frac{5}{2T} + \frac{\varepsilon_a}{kT^2} + \frac{2Z\varepsilon\theta}{kT^2} \right)$$

$$\bar{Q}_{\text{ads}} = -N_a \underbrace{\left( \frac{5}{2} kT + \varepsilon_a + 2Z\varepsilon\theta \right)}_{\substack{\text{Langmuir} \\ \text{laterale WW}}}$$

- $\varepsilon = 0$  : keine Wechselwirkung  $\Rightarrow$  Langmuir
- $\varepsilon > 0$  : abstoßende WW

Häufigkeit mit Paaren zu Bilden  $Z \sim \bar{Q}_{\text{ads}}$   
Beide abhängig von  $\theta$

## Thermodynamik der Adsorption

### Thermale Desorption

- $\nu(\theta)$  Frequenz der Schwingerung bei bestimmter Bedeckung  $\theta$  des Adsorbats

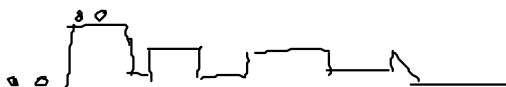
$$\frac{d\theta}{dt} = -\nu(\theta) \theta^n \exp \left[ -\frac{\varepsilon_a(\theta)}{kT} \right]$$

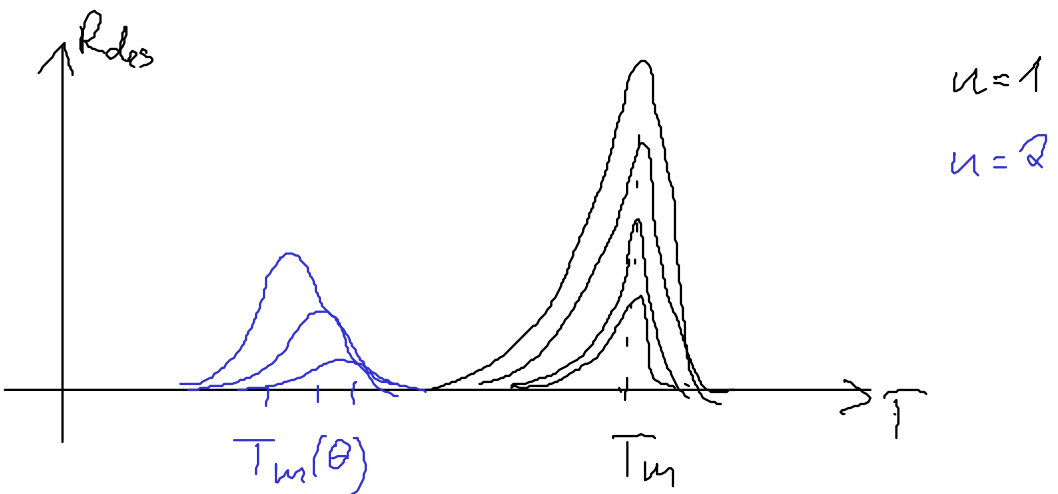
- exp. Aufbau

Thermoskopem zur Messung der Temperatur  $T = T_0 + \beta t$

Quadrupol-klass-Spektrometer:  $R_{\text{des}}(T)$

- Bildungsenergie ist Brüche Verteilung  $\Rightarrow R_{\text{des}}(T)$  breite Peaks





- Aktivierung  $\varepsilon$  für die Desorption i.A.  $E \neq \varepsilon_a$   
 $\Rightarrow$  Veränderung von Adsorptionsenergie mit Position von  $T_m$ .
- $\Rightarrow$  Bindungsenergie pro Teilchen  
 (lokalisierte Adsorption) kleine Moleküle
- Desorption abhängig von Position an Oberfläche